

三井建設(株)。樋口昇  
山梨大学工学部 平島健一

### 1. 緒言。

波動伝播による固体の動的な応答は、構造物に広範な被害を生じさせようの場合も多く存在する。例えば、地震、爆発、杭打ち作業、機械の作動によって生じる波動、超音速機、爆風等によつて生じる衝撃波などに基づく地盤(地盤)の力学的挙動と明らかにすることは、工学、地球物理学、地震学などの分野において極めて重要な課題である。<sup>3)</sup>したがつて、この種の問題は古くから膨大な数の研究がなされてきており、これらは応力伝播と本質的特徴ともしてあり、大別すると次の2つの場合に分類される。

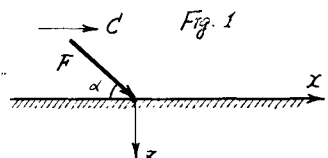
[I] 定常状態の準静的な問題。 [II] 非定常の過渡応答状態の問題。

波動伝播の本質的特徴を失うことなく、かつ最も簡単なモデルとしては2次元的な平面ひずみ状態が考えられるが、本論文では半無限弹性体の2次元問題と[I]の立場に立つた研究が取り扱われる。この種の問題に対する従来までの研究の概略は以下のようである。すなはち、[I]に対して、Sneddonは半無限板の表面上で一定速度で移動する鉛直集中荷重の下での問題をFourier変換と用いて亜音速(移動速度  $C_1$  が媒体の弹性波速度  $C_1, C_2$  よりも遅い)状態の時のE解析した。<sup>1)</sup> Cole & Huth<sup>10)</sup>はGalilean変換と変位函数と用いてSneddonの解を、遷音速( $C_1 < C_2 < C_1$  の場合)、超音速( $C_1 < C_2 < C$  の場合)状態にまで拡張した。<sup>11)</sup> Niwa & Kobayashi<sup>12)</sup>は上記の3つの状態に対して分布荷重を含めて一般解を求め、集中荷重が作用する場合の複数の計算例を示した。他方、[II]の問題としては“Lambの問題”が有名である。また、Ang<sup>13)</sup>は変位函数とLaplace変換と用いてLambの問題の拡張ともして3鉛直集中荷重が媒体の表面に作用する同時に一定速度(ただし亜音速状態 i.e.  $C_1 < C_2$ )で移動する問題を解き、用いた形の解を提示した。なお、そこではLaplace逆変換を求めるのにCagniardの方法が用いられており、最後にはFreund<sup>14)</sup>は[II]の問題で荷重作用後、一定速度で移動する場合の問題を取り扱つてある。

本論文では媒体表面に傾斜した集中荷重が作用後、一定速度(亜音速、遷音速および超音速の3つの場合)で移動する問題を考え、変位に因する弹性体の基礎方程式(i.e. Navierの方程式)とFourier変換およびLaplace変換と用いて解くことを試みたものである。なお、Laplace逆変換を求めるために、Angと同じく、=  $e^{-st}$  のCagniardの方法を用いてある。また移動荷重以外の数種類の荷重状態の場合を取り扱つてある。

### 2. 問題の設定と解法。

Fig. 1 のように深さ方向にZ軸、奥行方向にY軸、表面上の右向きにX軸とし、Y軸方向に一様な瞬間荷重を作用させることによって平面ひずみ状態が達成され、したがつてNavierの方程式は次の式となる。



$$\mu \square_x U + (\lambda + \mu) \frac{\partial \varepsilon_{xy}}{\partial x} = 0, \quad \mu \square_z W + (\lambda + \mu) \frac{\partial \varepsilon_{xz}}{\partial z} = 0, \quad \square_a = \frac{\partial^2}{\partial x^2} + \frac{\partial^2}{\partial z^2} - \frac{1}{C_s^2} \frac{\partial^2}{\partial t^2} \quad (1)$$

$\lambda, \mu$ : Lame定数,  $C_s = \sqrt{(\lambda+2\mu)/\rho}$ : 繩波の伝播速度,  $C_2 = \sqrt{\lambda/\rho}$ : 横波の伝播速度,  $\rho$ : 密度。

$U$ : X方向変位,  $W$ : Z方向変位,  $\varepsilon_{xy} = \frac{\partial U}{\partial x} + \frac{\partial W}{\partial y}$ : 体積ひずみ。

対象とする媒体に対する境界条件は以下のように与えられる。

$$\lim_{z \rightarrow \infty} T_{xz} = \lim_{z \rightarrow \infty} \mu \left( \frac{\partial W}{\partial x} + \frac{\partial U}{\partial z} \right) = P_x, \quad \lim_{z \rightarrow \infty} T_{zz} = \lim_{z \rightarrow \infty} (\lambda \varepsilon_{zz} + 2\mu \frac{\partial W}{\partial z}) = -P_z, \quad \lim_{z \rightarrow \infty} (T_{xx}, T_{zz}, T_{xz}) = 0, \quad \lim_{z \rightarrow \infty} (U, W) = 0 \quad (2)$$

$= 1$ ,  $P_x, P_z$  は零である、傾斜した集中瞬間荷重の水平、鉛直成分である。<sup>3)</sup> (1), (2) E X軸に対して Fourier変換、t(時間)軸に対して Laplace変換と適用するとき像空間において式に因する解形2階の微分方程式になり、したがつて、問題のその方程式と(2)の境界条件の下で解くことに帰着される。<sup>3)</sup> その結果は以下のようにある。

$$\begin{aligned} L[F[w]] &= Ae^{-\gamma_1 z} + Be^{-\gamma_2 z} \\ L[F[u]] &= -i \frac{\alpha}{\gamma_1} Ae^{-\gamma_1 z} - i \frac{\alpha}{\gamma_2} Be^{-\gamma_2 z} \end{aligned} \quad \dots \quad (3)$$

$$2d^2A + (d^2 + \gamma_2^2)B = i \frac{\alpha}{\mu} L[F[P_z]] \quad \dots \quad (4)$$

$$Y_1(d^2 + \gamma_2^2)A + 2\gamma_2 B = \frac{i}{\mu} L[F[P_z]]$$

$= 1$ ,  $d, P$  は零で Fourier 変換. Laplace:  $T = \frac{ct}{\mu} = 1.0$

変換に対する 3 倍数であり,  $\gamma_1, \gamma_2$  は次式で

与えられる。

$$\gamma_1^2 = d^2 + \rho P^2 / (\lambda + 2\mu), \quad \gamma_2^2 = d^2 + \rho P^2 / \mu \quad \dots \quad (5) \quad (T=1.0)$$

(4) に種々の荷重条件を代入して係数  $A, B$  が決定される。なお, Laplace 変換を求める際には Cagniard の方法を用いた。

### 3. 数値結果と考察

ここでの数値計算では Poisson 比  $\nu = 1/3$  として実施した。

これは  $C/C_0 = 2.0$  となり, 施力伝播領域が判りやすくなるためである。何より本質的な仮定ではない。

(A) 集中走行荷重の場合: Fig. 2 において I は横波に, II は継波によって乱された部分, III は先駆波の領域である。周辺の如く、これら部分の境界では応力は不連続となる。Fig. 3 は鉛直集中荷重  $Q$  が作用した場合の応力分布の一例であるが、荷重作用後の経過時間パラメータ  $T = 100.0$  では荷重作用点直下付近で定常解 (Cole & Huth, Niwa & Kobayashi) とはほとんど一致している。このことから、横波の到達距離 ( $= C_0 t$ ) が着目して 13 波長 (= 8) の 100 倍程度まで伝播するとき過渡状態が定常状態に遷移してしまって上る。ただし、本論文の解では定常解では現れずには荷重作用点前後に Rayleigh 波の影響によるビーグが発生する。このことは荷重速度  $C$  が Rayleigh 波速度  $C_R$  の前後の大ささをして計算した Fig. 3 と Fig. 4 を比較すればよく理解できる。また、この Rayleigh 波の影響は深さと共に極めて早く減衰するところが確認できる。なお、本解で静止状態 ( $C=0$ ) としたものは、定常解で現れるような特異性は発生せず Boussinesq の解と一致する。なお、 $C = 1$  が示されたが、超音速および超音速状態では非常な擾乱は時間と共に非常に早く減衰し、さかめ短時間で定常状態となる。

(B) 集中衝撃荷重の場合: Fig. 5 が表面での変位は Rayleigh 波の到達点で特異性とともに現れるが、これは Fig. 2 においても表面以外ではその点の特異性が現れてしまうことが確認できること。また、表面は最初沈下し、次に上昇する振動は起らず、磁界減衰状態となる。  
1) J. Cole & J. Huth, J. Appl. Mech. (1958), p. 433  
2) Y. Niwa & S. Kobayashi, Mem. Fac. Eng., Kyoto Univ., Vol. 28 (1966), p. 254.  
3) D. D. Ang, Quart. Appl. Math. Vol. 18 (1960), p. 251.  
4) L. B. Freund, J. Appl. Mech. (1973), p. 699.  
5) A. C. Eringen & E. S. Suhubi, Elastodynamics Vol. I, II, Academic Press (1975).

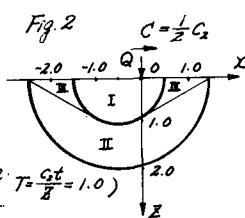
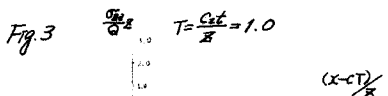
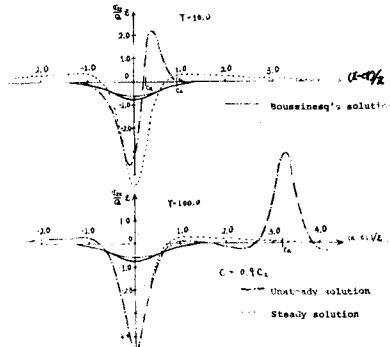


Fig. 2  $C = \frac{1}{2} C_0$

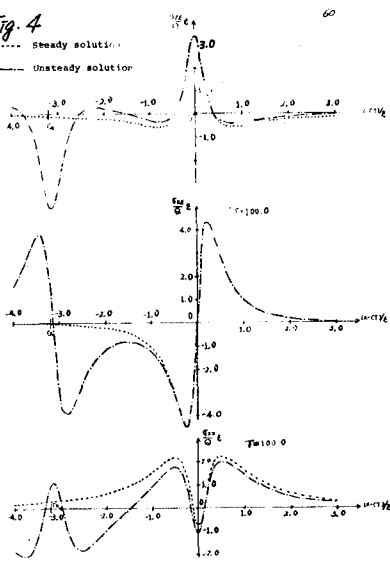


$C = 0.5 C_0$   
— Unsteady solution  
--- Steady solution



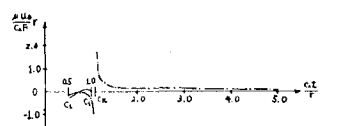
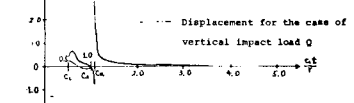
Distributions of stress  $\frac{\sigma_{zz}}{Q}$  for the case of vertical concentrated load  $Q$  with moving velocity  $C$ .

Fig. 4  
— Steady solution  
— Unsteady solution



Stress distributions when the load velocity  $C$  is greater than the Rayleigh wave velocity  $C_R$  (i.e.  $C = 0.9 C_0$ )

Fig. 5  
— Displacement for the case of horizontal impact load  $P$   
— Displacement for the case of vertical impact load  $Q$



Distributions of displacements  $\frac{u_{xx}}{P}$  and  $\frac{u_{zz}}{Q}$  along the line of  $\theta$  ( $\theta$ : clockwise angle measured from x-axis) for the case of concentrated impact load  $P$  ( $P$  is equal to  $P$  or  $Q$ ).